

## On The Etching Mechanism of ZrO<sub>2</sub> Thin Films in Inductively Coupled BCl<sub>3</sub>/Ar Plasma

Mansu Kim<sup>1)</sup>, Hee Sung Jung<sup>1)</sup> Nam-Ki Min<sup>1)</sup>, Hyun Woo Lee<sup>2)</sup>,  
and Kwang-Ho Kwon<sup>1)</sup>

Dept. of Control and Instrumentation Engineering, Korea University, Jochiwon, Chungnam,  
339-700<sup>1)</sup>

Dept. of Computer and Applied Physics, Hanseo University, Haemi-myun, Seosan-City,  
Chungnam, 356-706<sup>2)</sup>

**Abstract** BCl<sub>3</sub>/Ar ICP 플라즈마를 이용한 ZrO<sub>2</sub> 박막의 식각 메카니즘이 실험 결과와 모델링을 통해 연구되었다. Ar 가스의 증가에 따라, ZrO<sub>2</sub>의 식각 속도는 선형 변화의 경향을 보이지 않았고, Ar의 약 30% - 35%에서 41.4nm/min의 최대의 속도를 나타내었다. Langmuir probe 측정과 plasma 모델링 결과로부터, BCl<sub>3</sub>/Ar 가스 혼합비가 플라즈마 파라미터와 active species의 형성에 큰 영향을 미침을 확인하였다. 한편 surface kinetics 모델링 결과로부터, ZrO<sub>2</sub>의 식각 속도는 ion-assisted chemical reaction mechanism에 의해 결정됨을 확인하였다.

**Key Words :** ZrO<sub>2</sub>, etch rate, dissociation, ionization, etch mechanism

### 1. 서 론

ZrO<sub>2</sub>와 같이 고유전율 물질이 0.1μm이하의 CMOS 기술에서 게이트 유전 물질로 SiO<sub>2</sub>를 대신 하여 큰 관심을 끌어 왔다.[1-2] ZrO<sub>2</sub> 박막에 대한 이방성 건식 식각 공정의 개발은 정밀한 패턴 형성 뿐만 아니라 sub-micron 소자를 구현하기 위하여 풀어야 할 중요한 문제이다.

본 연구에 있어, 주된 플라즈마 파라미터로는 BCl<sub>3</sub>/Ar 가스비 변화를 선택하였으며, ZrO<sub>2</sub> 박막의 식각 메카니즘을 해석하기 위하여 plasma chemistry 및 surface kinetics model이 개발되었다.

### 2. 실험 및 모델링

ZrO<sub>2</sub> 박막은 PEALD(Plasma Enhanced Atomic Layer)방법에 의해 150°C에서 Si(100)위에 130-nm 두께로 증착되었다. 또한 ZrO<sub>2</sub>/Si의 선택 비를 알아보기 위해 Si(100) 기판을 사용하였다.

식각 실험은 BCl<sub>3</sub>/Ar 가스를 이용하여 ICP에서 행하여졌다. 그림 1에 본 실험에 사용된 ICP 식각 장비의 개략도를 나타내었다.

식각 공정 동안 기판의 온도는 17°C로 유지되었고, 식각 조건은 총 가스량 60sccm, 공정압력 4 mTorr, ICP power 500W, 그리고 bias power 100W였다. 식각된 ZrO<sub>2</sub> 시료의 크기는 2×2cm<sup>2</sup>였다.

식각 속도와 선택비를 측정하기 위하여 ZrO<sub>2</sub>과 Si의 식각된 깊이를 surface profiler( $\alpha$ -step 500, Tencor)를 사용하였다.

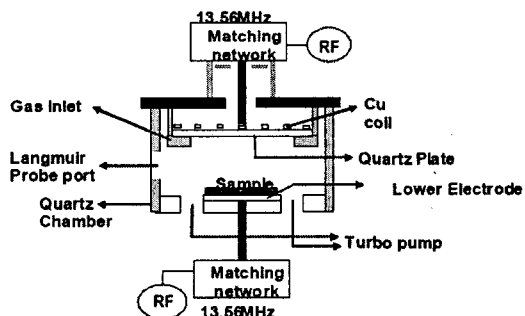


그림 1. ICP etcher의 개략도

플라즈마 특성(이온 밀도, 플라즈마 온도 등)은 Double Langmuir Probe system을 이용하여 측정되었다.로 해석 하였다.

Plasma active species의 밀도와 flux에 관한 데이터를 추출하기 위하여, 본 연구에서는 Maxwellian electron energy distribution function (EEDF) 및 volume kinetics에 대하여 quasi-stationary approximation을 갖는 a simplified global (0-dimensional) model을 이용하였다. 또한 본 모델에서는 기존에 보고된 몇몇 결과들을 고려하였다. 첫째, BCl<sub>3</sub>의 경우, ICP

plasma에서 형성되는 주요 neutral ground-state dissociation products는 Cl과  $\text{BCl}_2$ 이며, 둘째, Cl 원소의 주요 원은  $\text{BCl}_3$  분자의 electron impact dissociation이며, 셋째, 주요 음 이온은  $\text{Cl}^-$ 이며, 마지막으로, 주요 양이온은  $\text{BCl}_2^+$  및  $\text{Cl}^+$ 이다. 표 1에 본 모델에서 고려된 주요 반응 과정을 나타내었다.

표 1.  $\text{BCl}_3/\text{Ar}$  플라즈마 시뮬레이션을 위한 반응

Process	$E_e$ [eV]	Rate coefficient <sup>a</sup>
$\text{BCl}_3 + e \rightarrow \text{BCl}_2 + \text{Cl} + e$	4.61	$1.2 \times 10^{-4} T_e^{-0.25} \exp(-7088/T_e)$
$\text{BCl}_3 + e \rightarrow \text{BCl}_2 + \text{Cl}_2 + e$	5.65	$2.14 \times 10^{-4} T_e^{-0.25} \exp(-9765/T_e)$
$\text{BCl}_3 + e \rightarrow \text{BCl}_2 + \text{Cl} + 2e$	12.6	$7.54 \times 10^{-4} T_e^{-0.25} \exp(-15011/T_e)$
$\text{BCl}_3 + e \rightarrow \text{BCl}_2 + \text{Cl}_2 + 2e$	20.02	$2.39 \times 10^{-4} T_e^{-0.25} \exp(-23749/T_e)$
$\text{BCl}_3 + e \rightarrow \text{BCl}_2 + \text{Cl}_2 + 2e$	23.45	$8.81 \times 10^{-4} T_e^{-0.25} \exp(-26670/T_e)$
$\text{BCl}_3 + e \rightarrow \text{BCl}_2 + \text{Cl}^-$	0.14	$2.18 \times 10^{-4} T_e^{-0.25} \exp(-10749/T_e)$
$\text{BCl}_3 + e \rightarrow \text{BCl}_2 + 2e$	10.1	$1.03 \times 10^{-4} T_e^{-0.25} \exp(-122160/T_e)$
$\text{Ar} + e \rightarrow \text{Ar} + 2e$	15.76	$7.07 \times 10^{-4} T_e^{-0.25} \exp(-187120/T_e)$
$\text{Cl} + e \rightarrow \text{Cl} + 2e$	13.5	$6.09 \times 10^{-4} T_e^{-0.25} \exp(-155900/T_e)$
$\text{Cl} + n(\text{BCl}_3, \text{Cl}_2, \text{Ar}) \rightarrow n + \text{Cl}$	-	$1 \times 10^{-3}$
$\text{Ar}, \text{Cl}, \text{BCl}_3 \rightarrow \text{wall}$	-	$p_{\text{d}}$
$\text{Cl} \rightarrow \text{wall}$	-	$k(\text{Cl}) \sim 0.05$
$\text{BCl}_3 \rightarrow \text{wall}$	-	$k(\text{BCl}_3) \sim 0.05$

### 3. 결과 및 검토

그림 2에서는  $\text{BCl}_3/\text{Ar}$  가스비 변화의 따른  $\text{ZrO}_2$  식각 속도를 나타내었다. 실험으로부터 Ar의 증가함에 따라  $\text{ZrO}_2$ 의 식각 속도의 선형 변화를 하지 않음을 알 수 있고, Ar이 30 ~ 35%일 때 41.4nm/min의 최대값을 보인다. Ar의 비가 16 ~ 83%일 때  $\text{ZrO}_2$  식각 속도가 조금씩 감소하였고 순수한 Ar 플라즈마에서는 식각 속도가 0.65nm/min로 떨어졌다.

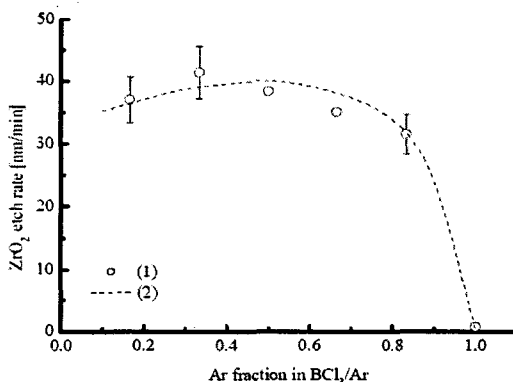


그림 2. Ar 가스 혼합비에 따른  $\text{ZrO}_2$  식각 속도 변화

### 4. 결론

$\text{BCl}_3/\text{Ar}$  ICP 플라즈마를 이용한  $\text{ZrO}_2$  박막의 식각 메카니즘이 실험 결과와 모델링을 통해 연구

되었다. 본 연구를 통해 Langmuir probe 측정과 plasma 모델링 결과로부터,  $\text{BCl}_3/\text{Ar}$  가스 혼합비가 플라즈마 파라미터와 active species의 형성에 미치는 영향이 검토될 것이다. 한편 surface kinetics 모델링 결과로부터,  $\text{ZrO}_2$ 의 식각 속도가 chemical 및 physical pathway에 의해 결정됨을 보여 줄 것이다.

### 참고 문헌

- [1] S. J. Yun, J. W. Lim, and J. H. Lee, Electrochim. Solid-State Lett. 8 (2005) F47.
- [2] C. Lee and M. A. Lieberman, J. Vac. Sci. Technol. A 13 (1995) 368.
- [3] P. N. Wainman, M. A. Lieberman, A. J. Lichtenberg, R. A. Stewart, and C. Lee, J. Vac. Sci. Technol. A 13 (1995) 2464
- [4] M. V. Malyshov and V. M. Donnelly, J. Appl. Phys. 87 (2000) 1642.